

清華大學  
第一次科學討論會報告集

1956·4

第二分冊 自然科學類

清華大學科學研究工作委員會編

機械工業出版社出版

404  
811

親愛的讀者：

當您讀完這本書後，請盡量地指出本書內容、設計和校對上的錯誤和缺點，以及對我社有關出版工作的意見和要求，以幫助我們改進工作。來信請寄北京東交民巷二十七號本社收（將信封左上角剪開，註明郵資總付字樣，不必貼郵票），並請詳告您的通訊地址和工作職務，以便經常聯繫。

機械工業出版社

NO. 1280

1956年12月第一版

1956年12月第一版第一次印刷

787×1092<sup>1/16</sup> 字數 96 千字 印張 4<sup>1/2</sup> 0,001—4,500 冊

機械工業出版社（北京東交民巷27號）出版

機械工業出版社印刷廠印刷 新華書店發行

北京市書刊出版業營業許可證出字第008號

統一書號

1 3 0 3 3 · 1

定價(8) 0.46 元

清華大學  
第一次科學討論會報告集

第二分冊 自然科學類

清華大學科學研究工作委員會編

機械工業出版社

1956

## 目 錄

斜量法的比較及应用 .....	趙訪熊 (3)
重力場彈性应力分析問題 .....	杜慶華 (15)
空心壩的应力分析 .....	楊報昌 (28)
管道的振动 .....	鄭哲敏 (37)
圓拱的振动 .....	黃昭度 (42)
線性機械自動控制系統的理論綜述 .....	鍾一謨 (50)
有关高分子化合物溶液的性質的若干問題 .....	宋心琦 (59)
關於化學反應速度和熱力学因素的關係 .....	趙慕愚 (66)

# 斜量法的比較及应用

## 一 引 言

給定  $n$  个联立一次方程

$$Ax + b = 0,$$

其中大字母  $A$  代表系数方陣  $[a_{ij}]$ , 小字母代表  $n$  空間矢量。我們設  $|a_{ij}| \neq 0$ , 而求它的解  $\xi$ 。令  $A'$  代表方陣  $[a_{ji}]$ , 为了討論方便起見我們令

$$f = Ax + b = A(x - \xi),$$

$$g = A'f,$$

$$h = Ag,$$

$$k = A'h,$$

$$l = Ak.$$

下列代数定理是容易驗証的。

定理：設

$$v = Au, \quad w = A'v, \quad \text{則} \quad u \cdot w = v \cdot v_0,$$

利用这个定理，我們有本文將要用到的等式

$$\begin{cases} g \cdot (x - \xi) = f \cdot f, \\ h \cdot f = g \cdot g, \\ k \cdot g = h \cdot h, \\ l \cdot h = k \cdot k. \end{cases} \quad (1)$$

我們把  $f$  叫做  $x$  所引起的殘矢，把  $|f|$  叫做  $x$  的“殘量”，把  $|x - \xi|$  叫做  $x$  對於解的“离差”， $g$  是殘量的斜量方向的一个矢量。从任何  $x_0$  出發，順着一个給定的方向，例如殘量最速下降方向  $-g$ ，前進到  $x_1$ ，如果  $x_1$  的殘量較小於  $x_0$  的殘量，我們就說  $x_1$  按殘量標準說，是較好於  $x_0$  的一个近似解；如果  $x_1$  的离差較小於  $x_0$  的离差，我們就說  $x_1$  按离差標準說，是較好於  $x_0$  的一个近似解。在本文內，我們將比較几种斜量法的計算工作量及效果。提出改進方法，最后用斜量法求对称方陣的固有矢量及固有值。

## 二 几种斜量法的比較

普通斜量法<sup>[1]</sup>給出的第一次近似解  $M_1$  是在通过起点  $x_0$  点的斜量線  $x = x_0 + g_0\tau$  上，按殘量標準說，最好的近似解，公式是

$$M_1 = x_0 - \frac{g_0 \cdot g_0}{h_0 \cdot h_0} g_0, \quad (2)$$

我的斜量法<sup>[2]</sup>給出的第一次近似解  $C_1$  是在通过起点  $x_0$  的斜量線上，按离差标准說，最好的近似解，公式是

$$C_1 = x_0 - \frac{f_0 \cdot f_0}{g_0 \cdot g_0} g_0. \quad (3)$$

注意从  $x_0$  算出  $h_0 = AA' (Ax_0 + b)$ ，需要做  $3n^2$  个乘法，而算出  $g_0 = A' (Ax_0 + b)$  僅需做  $2n^2$  个乘法。所以用(3)的每次計算工作量僅是用(2)的每次計算工作量的三分之二，而且  $C_1$  比  $M_1$  更近於所求的解。

准布尼雅科夫斯基不等式

$$(f \cdot f)(h \cdot h) - (f \cdot h)^2 \geq 0$$

及(1)的

$$f \cdot h = g \cdot g,$$

可得

$$\frac{f_0 \cdot f_0}{g_0 \cdot g_0} \geq \frac{g_0 \cdot g_0}{h_0 \cdot h_0},$$

所以在— $g$  方向的進度在用(2)时一般比用(3)时为小，惟有在  $f_0$  与  $h_0$  平行的特殊情形下，兩個方法的進度才是相等的。这种特殊情形是可能發生的。当  $f_0$  与  $h_0$  平行时，我們有

$$f_0 = \frac{f_0 \cdot h_0}{h_0 \cdot h_0} h_0 = \frac{g_0 \cdot g_0}{h_0 \cdot h_0} h_0 = \frac{f_0 \cdot f_0}{g_0 \cdot g_0} h_0,$$

从(2)可得

$$M_1 - \xi = (x_0 - \xi) - \frac{g_0 \cdot g_0}{h_0 \cdot h_0} g_0,$$

左乘方陣  $A$  即得

$$f_1 = f_0 - \frac{g_0 \cdot g_0}{h_0 \cdot h_0} h_0 = 0.$$

所以在这种特殊情形用(2)或(3)一次就达到所求的解。反过來說，如果  $x_1 = \xi$ ，則  $f_1 = 0$ ， $f_0$  也必然与  $h_0$  平行。

为了增加(2)的收敛速度，在大量計算內通常<sup>[1]</sup>改用公式

$$B_1 = x_0 - 0.9 \frac{g_0 \cdot g_0}{h_0 \cdot h_0} g_0 \quad (4)$$

來計算。很顯然如果遇到  $f_0$  与  $h_0$  平行的特殊情形时，用(4)反而大大降低了收敛速度，所以用經驗公式(4)來作大量計算是否有正确的理論根据是可以怀疑的。顯然，如果在(2)或(3)加一个修正項，那么这个修正項应当包含与

$$(f_0 \cdot f_0)(h_0 \cdot h_0) - (g_0 \cdot g_0)^2$$

有关的因子，否则应用於上述特殊情形或十分接近該情形时不能產生有利的作用。

茲設  $A$  是对称的正定方陣，也就是說， $A = A'$ ，而且  $x \cdot Ax$  当  $x$  不等於零矢时只能取到正值。在这个假設下，我們有比(2)及(3)更簡單的公式，Канторович<sup>[3]</sup> 作出二次汎函数

$$H(x) = (Ax + 2b) \cdot x$$

証明了使  $H$  为極小就可得給定方程的解， $H$  的斜量方向与  $f$  相同，在通过  $x_0$  点的殘量線  $x = x_0 + f_0 \tau$  上使  $H$  为極小的点  $K_1$  是

$$K_1 = x_0 - \frac{f_0 \cdot f_0}{f_0 \cdot g_0} f_0. \quad (5)$$

不難驗証在通過  $x_0$  的殘量線上使殘量為最小的點  $J_1$  是

$$J_1 = x_0 - \frac{f_0 \cdot g_0}{g_0 \cdot g_0} f_0, \quad (6)$$

這是吉田耕作程序。準布尼雅科夫斯基不等式知

$$\frac{f_0 \cdot g_0}{g_0 \cdot g_0} < \frac{f_0 \cdot f_0}{f_0 \cdot g_0},$$

因此吉田耕作程序在一  $f$  方向的進度一般較小於 Kantorovich 程序的進度，惟有在  $f_0$  與  $g_0$  平行時這兩種程序的進度才是相等的。此時

$$f_0 = \frac{f_0 \cdot g_0}{g_0 \cdot g_0} g_0,$$

與  $J_1$  或  $K_1$  對應的殘量  $f$  是

$$f_1 = AJ_1 + b = f_0 - \frac{f_0 \cdot g_0}{g_0 \cdot g_0} g_0 = 0,$$

所以不論用那種程序都可以一下子就得出所求的解。

我們將按離差標準來比較這兩種程序。給定對稱及正定的方陣  $A$  後，就可以找出一個三角型的方陣  $B$  滿足  $B'B = A$ 。以  $n=3$  為例，就是可以找出  $B$  使

$$\begin{bmatrix} b_{11}, & b_{12}, & b_{13} \\ 0, & b_{22}, & b_{23} \\ 0, & 0, & b_{33} \end{bmatrix} \begin{bmatrix} b_{11}, & 0, & 0 \\ b_{12}, & b_{22}, & 0 \\ b_{13}, & b_{23}, & b_{33} \end{bmatrix} = \begin{bmatrix} a_{11}, & a_{12}, & a_{13} \\ a_{12}, & a_{22}, & a_{23} \\ a_{13}, & a_{23}, & a_{33} \end{bmatrix},$$

$A$  的正定性保證我們能從關於  $b_{11}, b_{12}, b_{13}, b_{22}, b_{23}, b_{33}$  的六個聯立方程解出所求的解<sup>[5]</sup>。找出  $B$  後給定方程可以寫作

$$Ax + b = B'Bx + b = B'B(x - \xi) = 0,$$

那麼求  $\xi$  使  $A(x - \xi) = 0$  的問題與求  $\xi$  使  $B(x - \xi) = 0$  的問題是等價的。茲求  $B(x - \xi) = 0$  的解。

令

$$F = B(x - \xi),$$

則

$$G = B'F = A(x - \xi) = f,$$

$$H = BG$$

$$K = B'H = Af = g,$$

利用(2)即得在  $x_0$  點的斜量線  $x = x_0 + G\tau = x_0 + f_0\tau$  上使殘量  $|F|$  為極小之點為

$$K_1 = x_0 - \frac{G_0 \cdot G_0}{H_0 \cdot H_0} G_0 = x_0 - \frac{f_0 \cdot f_0}{f_0 \cdot g_0} f_0, \quad (5)$$

注意這就是 Kantorovich 程序。

利用(3)即得在  $x_0$  點的斜量線上使離差為極小之點為

$$F_1 = x_0 - \frac{F_0 \cdot F_0}{G_0 \cdot G_0} G_0, \quad (6)$$

上述平面的方程可以寫成

$$x = x_0 + \mu_1 g_0 + \mu_2 n_0, \quad \text{其中 } n_0 \cdot g_0 = 0,$$

我們有

$$\begin{aligned} x - \xi &= (x_0 - \xi) + \mu_1 g_0 + \mu_2 n_0, \\ D &= (x - \xi) \cdot (x - \xi) = (x_0 - \xi) \cdot (x_0 - \xi) + \mu_1^2 (g_0 \cdot g_0) + \\ &\quad + \mu_2^2 (n_0 \cdot n_0) + 2\mu_1 (f_0 \cdot f_0) + 2\mu_2 [n_0 \cdot (x_0 - \xi)] = \\ &= (x_0 - \xi) \cdot (x_0 - \xi) + \left[ \sqrt{g_0 \cdot g_0} \mu_1 + \frac{f_0 \cdot f_0}{\sqrt{g_0 \cdot g_0}} \right]^2 + \\ &\quad + \left[ \sqrt{n_0 \cdot n_0} \mu_2 + \frac{n_0 \cdot (x_0 - \xi)}{\sqrt{n_0 \cdot n_0}} \right]^2 - \frac{(f_0 \cdot f_0)^2}{g_0 \cdot g_0} - \frac{[n_0 \cdot (x_0 - \xi)]^2}{n_0 \cdot n_0}, \end{aligned}$$

顯然使  $D$  最小就是使

$$\mu_1 = -\frac{f_0 \cdot f_0}{g_0 \cdot g_0}, \quad \mu_2 = -\frac{n_0 \cdot (x_0 - \xi)}{n_0 \cdot n_0},$$

$$\text{因 } n_0 = K_0 - \frac{h_0 \cdot h_0}{g_0 \cdot g_0} g_0,$$

$$\text{故有 } n_0 \cdot (x_0 - \xi) = g_0 \cdot g_0 - \frac{h_0 \cdot h_0}{g_0 \cdot g_0} f_0 \cdot f_0 = -\frac{|f_0 \cdot f_0, g_0 \cdot g_0|}{g_0 \cdot g_0}.$$

在這裡我們用到引言內的定理而得

$$u = x_0 - \xi, \quad g_0 = A' A u, \quad w = A' A y_0 = K_0,$$

所以有

$$K_0 \cdot (x_0 - \xi) = g_0 \cdot g_0.$$

現在我們得到(8)的另一個形式

$$\begin{aligned} C_2^* &= x_0 - \frac{f_0 \cdot f_0}{g_0 \cdot g_0} + \frac{|f_0 \cdot f_0, g_0 \cdot g_0|}{(g_0 \cdot g_0)(n_0 \cdot n_0)} n_0, \\ \text{其中 } n_0 &= K_0 - \frac{h_0 \cdot h_0}{g_0 \cdot g_0} g_0 \text{ 是垂直於 } g_0 \text{ 的,} \end{aligned} \tag{9}$$

從(9)可以看出如果  $C_1 \neq \xi$ , 也就是說如果  $f_0$  不與  $h_0$  平行, 則

$$C_2^* = C_1 + \mu_2 n_0, \quad \mu_2 \neq 0.$$

$$\text{惟 } C_2 = C_1 - \frac{f_1 \cdot f_1}{g_1 \cdot g_1} g_1,$$

$$\text{故有 } C_2^* - C_2 = \mu_2 n_0 + \frac{f_1 \cdot f_1}{g_1 \cdot g_1} g_1,$$

$$g_0 \cdot (C_2^* - C_2) = \frac{f_1 \cdot f_1}{g_1 \cdot g_1} (g_1 \cdot g_0) = -\frac{(f_1 \cdot f_1)}{(g_1 \cdot g_1)(g_0 \cdot g_0)} \begin{vmatrix} f_0 \cdot f_0, g_0 \cdot g_0 \\ g_0 \cdot g_0, h_0 \cdot h_0 \end{vmatrix},$$

顯然  $g_0 \cdot (C_2^* - C_2) \neq 0$ , 所以  $C_2^* \neq C_2$ , 已証完。

事實上我們也已證明如果  $C_1 \neq \xi$ , 那麼  $C_2 \neq \xi$ , 因為如果  $C_2 = \xi$ , 那麼  $C_2^* = \xi = C_2$  就與剛在已証的結果矛盾, 所以如果  $C_1 \neq \xi$ , 任何  $C_n$  也不是所求的解  $\xi$ 。這就是說如果用(3)一次不得達到解, 那麼用(3)任何多次也不能真正達到所求的解。

## II. 程序(2)的改進

从公式(2)

$$M_1 = x_0 - \frac{g_0 \cdot g_0}{h_0 \cdot h_0} g_0,$$

可得

$$M_2 = M_1 - \frac{g_1 \cdot g_1}{h_1 \cdot h_1} g_1,$$

其中

$$g_1 = g_0 - \frac{g_0 \cdot g_0}{h_0 \cdot h_0} k_0,$$

$$h_1 = h_0 - \frac{g_0 \cdot g_0}{h_0 \cdot h_0} l_0.$$

所以  $x_0$ ,  $M_1$  及  $M_2$  三点所定出的平面仍是  $x_0$  点及  $g_0$ ,  $k_0$  两个方向所定出的平面

$$x = x_0 + \tau_1 g_0 + \tau_2 k_0,$$

由此可得

$$f = f_0 + \tau_1 h_0 + \tau_2 l_0,$$

$$E = f \cdot f = (f_0 \cdot f_0) + \tau_1^2 (h_0 \cdot h_0) + \tau_2^2 (l_0 \cdot l_0) + 2\tau_1 (g_0 \cdot g_0) + 2\tau_2 (h_0 \cdot h_0) + 2\tau_1 \tau_2 (k_0 \cdot k_0),$$

定  $\tau_1$  及  $\tau_2$  使  $E$  为极小的条件是

$$\begin{cases} (g_0 \cdot g_0) + (h_0 \cdot h_0) \tau_1 + (k_0 \cdot k_0) \tau_2 = 0, \\ (h_0 \cdot h_0) + (k_0 \cdot k_0) \tau_1 + (l_0 \cdot l_0) \tau_2 = 0. \end{cases} \quad (10)$$

定出的最好的点是

$$M_2^* = x_0 + \tau_1 g_0 + \tau_2 k_0, \text{ 其中 } \tau_1 \text{ 及 } \tau_2 \text{ 满足(10)},$$

注意求出  $M_2^*$  僅需作大致  $5n^2$  个乘法, 用(2)两次求出  $M_2$  反而需要  $6n^2$  个乘法, 所以用改進后公式  $M_2^*$  可以節省一些計算工作量, 茲証如果  $M_1 \neq \xi$ , 則  $M_2^* \neq M_2$ , 用  $M_2^*$  的确比  $M_2$  好些。

今有

$$M_2^* = x_0 + \tau_1 g_0 + \tau_2 k_0, \text{ 其中 } \tau_1 = \frac{\begin{vmatrix} k_0 \cdot k_0, & g_0 \cdot g_0 \\ l_0 \cdot l_0, & h_0 \cdot h_0 \end{vmatrix}}{\begin{vmatrix} h_0 \cdot h_0, & k_0 \cdot k_0 \\ k_0 \cdot k_0, & l_0 \cdot l_0 \end{vmatrix}},$$

$$M_2 = x_0 + \lambda_1 g_0 + \lambda_2 k_0, \text{ 其中 } \lambda_1 = -\left[ \frac{g_0 \cdot g_0}{h_0 \cdot h_0} + \frac{g_1 \cdot g_1}{h_1 \cdot h_1} \right],$$

故有

$$M_2^* - M_2 = (\tau_1 - \lambda_1) g_0 + (\tau_2 - \lambda_2) k_0,$$

因

$$g_1 = g_0 - \frac{g_0 \cdot g_0}{h_0 \cdot h_0} k_0,$$

而

$$g_1 \cdot g_0 = g_0 \cdot g_0 - \frac{g_0 \cdot g_0}{h_0 \cdot h_0} h_0 \cdot k_0 = 0, \text{ 已設 } M_1 \neq \xi, \text{ 故 } g_1 \neq 0,$$

所以  $g_1$  与  $g_0$  恒互相垂直,  $g_1$  是  $g_0$  及  $k_0$  的線性組合, 所以  $g_0$  与  $k_0$  不可能平行, 否則  $g_1$  也将与  $g_0$  平行。因此如果  $M_2^* = M_2$ , 則必有  $\tau_1 - \lambda_1 = 0$ , 不難算出

$$-\lambda_1 = \frac{(g_0 \cdot g_0)^2}{(h_0 \cdot h_0)^2} \begin{vmatrix} g_0 \cdot g_0, & k_0 \cdot k_0 \\ h_0 \cdot h_0, & l_0 \cdot l_0 \end{vmatrix} \frac{1}{(h_0 \cdot h_0)(h_1 \cdot h_1)},$$

因此  $\tau_1 - \lambda_1 = 0$  就是

$$\frac{(h_0 \cdot h_0)^2 (h_1 \cdot h_1)}{(g_0 \cdot g_0)^2} = \begin{vmatrix} h_0 \cdot h_0, & k_0 \cdot k_0 \\ k_0 \cdot k_0, & l_0 \cdot l_0 \end{vmatrix},$$

角为  $\theta$ ,  $x^*$  矢量与  $\varphi$  矢量間的角为  $\theta^*$ , 則有

$$\cos^2 \theta = \frac{(x \cdot \varphi)^2}{x \cdot x}, \quad \cos^2 \theta^* = \frac{(x^* \cdot \varphi)^2}{x^* \cdot x^*},$$

要求  $x^*$  的方向更近於  $\varphi$  的方向就是要求下列不等式成立,

$$\frac{(x^* \cdot \varphi)^2}{x^* \cdot x^*} > \frac{(x \cdot \varphi)^2}{x \cdot x}, \quad (17)$$

我們有

$$x^* \cdot \varphi = (x \cdot \varphi) \left[ 1 - \frac{(g \cdot x)(g \cdot \varphi)}{2(g \cdot g)(x \cdot \varphi)} \right],$$

$$x^* \cdot x^* = (x \cdot x) \left[ 1 - \frac{3}{4} \frac{(g \cdot x)^2}{(g \cdot g)(x \cdot x)} \right],$$

代入(17)簡化即得

$$3 \frac{(x \cdot \varphi)^2}{x \cdot x} + \frac{(g \cdot \varphi)^2}{g \cdot g} - 4 \frac{(g \cdot \varphi)(\varphi \cdot x)}{g \cdot x} > 0, \quad (18)$$

为了找出不等式(18)規定的  $x$  与  $\varphi$  間的关系, 把  $g$  寫成固有矢量的線性組合

$$g = \sum_{i=1}^n G_i \varphi_i,$$

則有

$$G_i = \sum_{j=1}^n e_j^2 e_i \lambda_j^2 - 2 \sum_{j=1}^n e_j^2 \lambda_j e_i \lambda_i + \sum_{j=1}^n \lambda_j^2 e_j^2 e_i = e_i \sum_{j \neq i} e_j^2 (\lambda_i - \lambda_j)^2,$$

$$g \cdot x = \sum_{k=1}^n s_k G_k = e_i G_i + \sum_{k \neq i} e_k^2 \sum_{j \neq k} e_j^2 (\lambda_k - \lambda_j)^2,$$

取出  $j=i$  一項

$$e_i^2 \sum_{k \neq i} e_k^2 (\lambda_i - \lambda_k)^2 = e_i G_i,$$

即得

$$g \cdot x = 2e_i G_i + \alpha_i,$$

其中

$$\alpha_i = \sum_{k \neq i} \sum_{j \neq i} e_k^2 e_j^2 (\lambda_k - \lambda_j)^2 \geq 0.$$

因此我們有(設  $\varphi = \varphi_i$ )

$$\frac{(g \cdot \varphi)(\varphi \cdot x)}{g \cdot x} = \frac{e_i G_i}{2e_i G_i + \alpha_i} \leq \frac{1}{2},$$

只要  $x$  与  $\varphi$  滿足

$$3 \frac{(x \cdot \varphi)^2}{x \cdot x} > 2, \quad (19)$$

就可以滿足(18), 条件(19)可以寫成

$$3e_i^2 > 2 [e_i^2 + \sum_{j \neq i} e_j^2],$$

即

$$e_i^2 > 2 \sum_{j \neq i} e_j^2. \quad (20)$$

當  $n=3$  时, 就要求  $x$  在以  $\varphi_i$  为軸(选作  $x_i$  軸)的圓錐面  $x_i^2 = 2 \sum_{j \neq i} x_j^2$  之内, 設从軸到元素的角度为  $\theta_0$ , 則  $\cos \theta_0 = \sqrt{\frac{2}{3}} = 0.82$ ,  $\theta_0 = 35^\circ$ , 當  $n=2$  时, 滿足(18)就是滿足

$$3 \frac{e_i^2}{e_i^2 + e_j^2} + \frac{e_j^2}{e_i^2 + e_j^2} - 2 > 0, \quad i \neq j$$

即

$$e_i^2 - e_j^2 > 0,$$

也就是说只要  $x$  比較接近於  $\varphi_i$  軸, 則  $x^*$  就一定更接近於  $\varphi_i$  軸, 由此可見如果  $x$  是  $\varphi_i$  方向的一个比較好的近似矢量, 那么  $x^*$  就是一个更好的近似矢量。

### 六 例 题

茲求

$$\begin{bmatrix} 4 & 2 \\ 2 & 5 \end{bmatrix}$$

的固有矢量，固有值  $\lambda$  滿足的方程是

$$\lambda^2 - 9\lambda + 16 = 0,$$

其根为

$$\lambda_1 = 4.5 + \sqrt{4.25}, \quad \lambda_2 = 4.5 - \sqrt{4.25},$$

$$\sqrt{4.25} = 2.061552812,$$

所以

$$\lambda_1 = 6.561552812,$$

兩個互相垂直的固有矢量是

$$\varPhi_1 = (0.780776406, 1),$$

$$\varPhi_2 = (1, -0.780776406).$$

我們從  $x = (1, 1)$  出發用上節的斜量法接近一個固有矢量。

今有

$$x = (1, 1), \quad x \cdot x = 2,$$

$$x' = (6, 7), \quad x \cdot x' = 13, \quad x' \cdot x' = 85,$$

$$x'' = (38, 47);$$

$$g = 2(38, 47) - 26(6, 7) + 85(1, 1) = (5, -3),$$

$$g \cdot x = 2, \quad g \cdot g = 34;$$

$$x^* = x - \frac{(g \cdot x)g}{2g \cdot g} = (1, 1) - \frac{1}{34}(5, -3) = \left(\frac{29}{34}, \frac{37}{34}\right),$$

$$x^* = \mu(0.783783, 1).$$

注意這是  $\varPhi_1$  的一個近似矢量，僅有兩位有效數字，因  $(29, 37)$  大致與  $(47, 60)$  平行，我們再從  $(47, 60)$  出發，我們有

$$x = (47, 60), \quad x \cdot x = 5,809,$$

$$x' = (308, 394), \quad x \cdot x' = 38,116,$$

$$x'' = (2, 020, 2586), \quad x' \cdot x' = 250,100;$$

$$g = (9, 424, -7, 334),$$

$$g \cdot x = 2, 888,$$

$$g \cdot g = 142, 599, 332;$$

$$x^{**} = (47, 60) - \frac{1444(9424, -7334)}{142, 599, 332} = (46.904569988, 60.0742661) =$$

$$= \tau(0.78077641, 1),$$

與  $\varPhi_1$  比較可知  $x^{**}$  已有八位有效數字，而用疊代法八次所得的近似矢量是

$$x^{(8)} = (2968198, 3801247) = 6(0.78084849, 1),$$

它僅有四位有效數字。

如果我們从  $(1, -1)$  出發, 用斜量法則得

$$x^* = (1, -1) - \frac{(-3, -5)}{34} = \left( \frac{37}{34}, -\frac{29}{34} \right),$$

這是  $\varPhi_2$  的一個近似矢量。當然用疊代法不能直接從  $(1, -1)$  得出  $\varPhi_2$  的近似矢量。

### 參 考 文 獻

1. Milne, W. E.: Numerical Solution of Differential Equations, 1953, Chapter 9.
2. 趙訪熊:解聯立方程的斜量法,數學學報 3:4 (1953) 328—342.
3. Канторович, Л. В: 求解分析與應用數學,數學進展 1:4 (1955) 638—747.
4. 趙訪熊:解聯立方程的差分方程法,數學學報 5:2 (1955) 149—159.
5. Гельфанд: 一次代數學,商務, 1953, 定理見 193 頁。

# 重力壩彈性应力分析問題

## 一 引 言

重力壩是重要水工結構的一種，本文將以彈性力學平面問題的觀點來處理應力分析方法上的一些問題，由於平面問題的性質這種方法將只適用於較長的壩體，或者在較短的壩體中作為中間面計算的近似。

重力壩作為平面彈性問題已有五十年左右的發展，問題的性質極為明顯，這是一個邊界形狀和邊界條件複雜的平面問題（包括溫度應力）。而壩內厂房或觀察通道的設置更引起了複連通的性質。實踐要求重力壩的應力分析應該包括由於地震引起的振動應力，由於問題的複雜性目前處理重力壩的應力分析多半依靠實驗，但是由於計算設備的改進，近十年來蘇聯和英美近似計算工作也得到進展。

本文討論的範圍將以平面彈性靜力問題為限，提出差分和變分近似解，並利用光彈性和電比擬作為實驗驗證，關於壩體的穩定及滲流影響等均不涉及。

本文是我們關於重力壩彈性應力分析的一系列工作中的第一部分，文中在這問題上提出了一些新方法的應用，包括：有孔壩的近似計算，變分法在這一問題上的應用，考慮二種介質的可能，和由於邊界條件的處理可能性而將雙諧問題化為簡諧問題，在實驗技術上我們应用了光彈性和電場比擬配合應用下面平面問題尚可靠的結果。

## 二 歷史簡介

在這一世紀以前重力壩的應力始終停留在運用樑的簡單理論的階段，亦即重力壩作為懸臂樑的情況來分析的。到二十世紀的開始由於水力利用的要求和彈性力學上取得的進展<sup>[1]</sup>、<sup>[2]</sup>，重力壩開始作為平面彈性問題來尋求應力分析的方法。1907—8年J. S. 威爾遜和W. 高爾<sup>[3]</sup>首先用橡皮模型進行實驗，特別是他們提出了在外加載荷以代替自重引起的應力分析（參看圖1）。1909年L. F. 李查遜<sup>[4]</sup>提出重力壩應力分析的差分數解法，李氏首先應用聖梵南原理將重力壩化為有限區域的問題並且提出了差分的數解法（參看圖2）。李氏的概念是後來<sup>[13]</sup>一些工作的基礎，由於M. 李維<sup>[2]</sup>的工作K. 胡爾夫<sup>[5]</sup>在1914年提出了三角壩的解法。在1933年蘇聯E. I. 伽僚金<sup>[6]</sup>提出了三角形及梯形壩的應力分析的詳盡分析，顯然當時這一方面的工作是和蘇聯第一個五年計劃中水電站和水利建設的推動分不開的。應該指出從李維開始到伽僚金的工作都是滿足三角形壩體表面的邊界條件為限的，也就是基礎的彈性作用未能合理計入，也

就是靠近壩基的应力分析不甚可靠。这些研究的結果都說明簡單的樑的理論是不能用在重力壩的情況的。

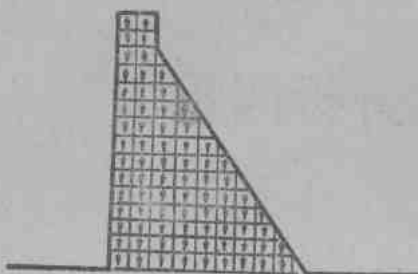


圖 1. 威爾遜, 高爾用外加载荷代替自重示意。



圖 2. 李查遜近似計算示意。

1935 年左右运用光彈性實驗來解決重力壩的应力分析得到發展。例如 J. H. A. 勃拉茲<sup>[7]</sup>在 1936 年的工作。在这以后實驗中關於重力是用旋盤的离心力得到的。A. G. 首拉基安等在討論

<sup>[7]</sup> 的內容，示出分析中加载的方法（參閱圖 3），當時由於光彈性的技術條件對於實驗中离心力的大小和材料的敏感徐滑特別注意，其中一部分問題由於後來利用了凍結法而解決，這種方法迄今仍在廣泛應用。例如<sup>[8]</sup>，其他如板類比法等<sup>[8]</sup>也有應用。

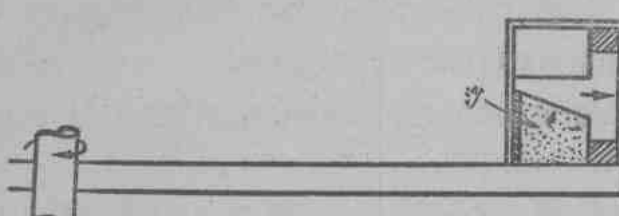


圖 3. 首拉基安旋盤离心力代替水压及重力示意。

隨着光彈性實驗發展的同时對於重力壩作為平面彈性問題的性質得到進一步的明確。例如 C. G. 古特曼<sup>[9]</sup>、M. A. 皮奧特<sup>[10]</sup>的工作，對重力可以化為邊界力，有孔的壩體所具有的位差問題得到了明確。

由於混凝土凝固發生的收縮溫度應力，在 1936 年 H. G. 斯密支<sup>[11]</sup>進行了光彈性試驗。由於 M. A. 皮奧特的工作。S. 李維也夫斯基<sup>[12]</sup>對阿斯沃壩進行了溫度應力分析。

O. C. 辛克維錫茲<sup>[13]</sup>在 1947 年應用 L. E. 李查遜的概念對重力壩的彈性應力分析应用了 R. V. 少斯威爾的迭弛法。其後他在 1955 年<sup>[14]</sup>對於溫度應力進行迭弛法的計算。H. M. 閻爾閔克<sup>[14]</sup>在 1949 年對壩體應力分析的近似計算做了介紹。

在蘇聯烏克蘭 J. I. 家特洛夫斯基<sup>[15]</sup>對於重力壩進行了一系列的工作。我們由於缺乏資料只見到他的一部分工作（附參考文獻中有 \* 號者）1955 年<sup>[16]</sup>他提出了用無限體中集中力的結果使任何體積力化為邊界力的方法。

迄今為止，空心壩的計算尚未見諸公開文獻，由於基礎與壩體彈性性質不同的影響尚未考慮。而國民經濟建設對於可靠而且不太小的計算方法的要求很為迫切。

本文在上述的基礎上對於重力壩應力分析中的一些問題進行了研究，其中主要是：

1. 空心壩應力分析的計算方法。
2. 運用位移法以求簡化實驗及計算，並提出考慮二種介質影響的可能。

### 3. 变分法在重力墙应力分析中的应用。

其中 1, 2, 3 项的具体计算及讨论将另文发表。

标号			
$\sigma_x, \sigma_y, \tau_{xy}$	正应力及剪应力	$\bar{R}_x, \bar{R}_y$	内边界(墙孔)作用力的合力
$X, Y$	体積力	$\Delta = \frac{\partial u}{\partial x} + \frac{\partial v}{\partial y}$	体積擴張
$\varphi$	应力函数	$\rho$	單位面積牆質量/單位長度
$V$	体積力势函数	$\bar{R}_{vp} = \rho g A_0$	牆孔所移去的重量/單位長度
$u, v$	$x, y$ 方向位移	$g$	重力加速度
$\epsilon_x, \epsilon_y, \gamma_{xy}$	正应变及剪应变	$F$	迭弛法残差量
$\nu^4 = \frac{\partial^4}{\partial x^4} + 2 \frac{\partial^4}{\partial x^2 \partial y^2} + \frac{\partial^4}{\partial y^4}$		$p, q, p_1$	偏谐函数
$\bar{X}, \bar{Y}$	边界力	附标	'牆身
$\lambda, G, \mu$	弹性常数		"牆基
$\cos(n, x)\cos(n, y)$	方向余弦	$W. M. S.$	牆身自重, 橫向水压向自重作用線与牆基交点简化之力矩,
$u_d, v_d, \omega_d$	位差		垂直力, 水平力
$\omega = \frac{1}{2} \left( \frac{\partial v}{\partial x} - \frac{\partial u}{\partial y} \right)$	旋量		

### 三 理論分析

重力牆的应力分析在牆體較長, 或僅考慮作為中間面的近似計算時可以作為二維之小彈性變形平面應變問題。亦即  $u$  及  $v$  為  $x$  及  $y$  之函數, 而  $w$  為零, 此時單元微體平衡條件導致:

$$\begin{aligned} \frac{\partial \sigma_x}{\partial x} + \frac{\partial \tau_{xy}}{\partial y} + X &= 0, \\ \frac{\partial \tau_{xy}}{\partial x} + \frac{\partial \sigma_y}{\partial y} + Y &= 0. \end{aligned} \quad (1)$$

滿足平衡條件的應力狀態可以通過應力函數  $\varphi$  及體積力勢函數  $V$  表達

$$\begin{aligned} \sigma_x &= \frac{\partial^2 \varphi}{\partial y^2} + V, \\ \sigma_y &= \frac{\partial^2 \varphi}{\partial x^2} + V, \\ \tau_{xy} &= -\frac{\partial^2 \varphi}{\partial x \partial y}. \end{aligned} \quad (2)$$

平面應變的物理條件為:

$$\begin{aligned} \epsilon_x &= \frac{\partial u}{\partial x} = \frac{1}{2G} [(1-\mu)\sigma_x - \mu\sigma_y], \\ \epsilon_y &= \frac{\partial v}{\partial y} = \frac{1}{2G} [(1-\mu)\sigma_y - \mu\sigma_x], \\ \gamma_{xy} &= \frac{\partial v}{\partial x} + \frac{\partial u}{\partial y} = \frac{1}{G} \tau_{xy}. \end{aligned} \quad (3)$$

变形一致要求

在上式中用(2)式引入  $\varphi$ , 及  $V = -\rho gy$  运用方向導数, 沿内边界积分然后部份积分, 及运用格林定理則得

$$\iint y \nabla^4 \varphi dx dy = -\frac{1}{1-\mu} (\bar{R}_y + \rho g A_c), \quad (9)$$

同理,  $v_s = 0$  得

$$\iint x \nabla^4 \varphi dx dy = -\frac{\bar{R}_x}{1-\mu}, \quad (10)$$

而  $\omega_d = 0$  得

$$\iint \nabla^4 \varphi dx dy = 0, \quad (11)$$

(9)式及(10)式中之  $\bar{R}_x$ ,  $\bar{R}_y$  为内边界上边界力之合力之  $x$ ,  $y$  方向分量。 $\rho$  为單位長壩体單位截面的重量,  $A_c$  为孔之面積。

在这种复連区域中应力函数

$$\varphi = \varphi_0 + Ax + By + C,$$

$\varphi_0$  为满足内外边界条件之双調函数, 在單連区域中(实心壩)可以令  $A$ ,  $B$ ,  $C$  三常数为零在复連区域有一孔时应由(9),(10),(11)三个方程式中解出  $A$ ,  $B$  及  $C$ 。

應該指出要消除位差而引起決定常数  $a$ ,  $b$ ,  $c$  的問題在应用位移方法时同样存在。因为内边界(孔)的剛体位移將照样改变应力狀況。於是在内边界上消除这种剛体位移必須使

$$u = u_0 + a - cy, \quad v = v_0 + b + cx$$

滿足下列三个条件。其中  $u_0$ ,  $v_0$  为满足内外边界条件的位移函数。其余項次代表剛体位移, 这三个条件是根据消除这种剛体約束滿足平衡沿内边界积分用相似於上述的处理得出

$$\iint \left[ (1-2\mu) \nabla^2 u + \frac{\partial \Delta}{\partial x} \right] dx dy = -\frac{1-2\mu}{G} \bar{R}_x, \quad (12)$$

$$\iint \left[ (1-2\mu) \nabla^2 v + \frac{\partial \Delta}{\partial y} \right] dx dy = -\frac{1-2\mu}{G} (\bar{R}_y + \rho g A_c), \quad (13)$$

$$\iint \left[ x \left( \frac{1-2\mu}{G} \nabla^2 v + \frac{\partial \Delta}{\partial y} \right) - y \left( \frac{1-2\mu}{G} \nabla^2 u + \frac{\partial \Delta}{\partial x} \right) \right] dx dy = -\frac{1-2\mu}{G} (\bar{M}_z + \rho g X_c A_c). \quad (14)$$

式中  $\bar{R}_x$ ,  $\bar{R}_y$  为内边界力的合力的  $x$ ,  $y$  方向分量,  $\bar{M}_z$  为此力对坐标原点之力矩,  $X_c$  为孔面積所含之面心, 选择此面心为原点則  $X_c$  为零,  $\rho$  及  $A_c$  同前。 $a$ ,  $b$  及  $c$  可由(12), (13)及(14)諸式决定。

上述复連区域性質的基本觀念在 J. H. 密息尔<sup>[1]</sup> 及 L. N. G. 法龍<sup>[17]</sup> 工作俱有說明, 多孔区域的处理方法是可以类推的。由此可見在解决有孔的問題中应用应力函数和位移函数都有决定每孔三个常数的問題。在解决的方式上處於相同境地。所以以下將只就应力函数來解决这一問題。

根据 M. A. 皮奧特<sup>[9]</sup>的工作, 壩体的自重可以化为边界力水压力, 这样孔內將出現一个分佈的水压力, 也就是  $\bar{R}_{yz} = \rho g A_c$ , 这时控制  $A$ ,  $B$  及  $C$  常数的条件將为

$$\iint y \nabla^4 \varphi dx dy = -\frac{\bar{R}_{yz}}{1-\mu}, \quad (15)$$

● 其实 C. Г. Гутман 在 1934 年就提了这一见解。

$$\iint x \nabla^4 \varphi dx dy = 0, \quad (16)$$

$$\iint \nabla^4 \varphi dx dy = 0. \quad (17)$$

在解空心壩的問題中，內邊界上的  $\varphi$  值將依靠沿內邊界積分而獲得， $\bar{R}_{yp}$  的存在雖然不在

(15)式引起複雜，但每積分一圈一週多出一常數，而且與坐標原點選擇有關，因此可以採用下列方法移去此內邊界不平衡的力。令

$$\sigma_x = \sigma'_x - \sigma''_x, \quad (18)$$

$$\sigma_y = \sigma'_y - \sigma''_y, \quad (19)$$

$$\tau_{xy} = \tau'_{xy} - \tau''_{xy}, \quad (20)$$

$\sigma'_x, \sigma'_y$  及  $\tau'_{xy}$  系根據邊界上作用有三種力的無自重壩算出(參看圖 4)：

(1)水壓力。

(2)自由重轉化出之水壓力。

(3)為了平衡內邊界附加力  
 $-\bar{R}_{yp} = -\rho g A_c$  所引起的內外邊界力。此力可以根據無限體中一集中力的解<sup>[19]</sup>

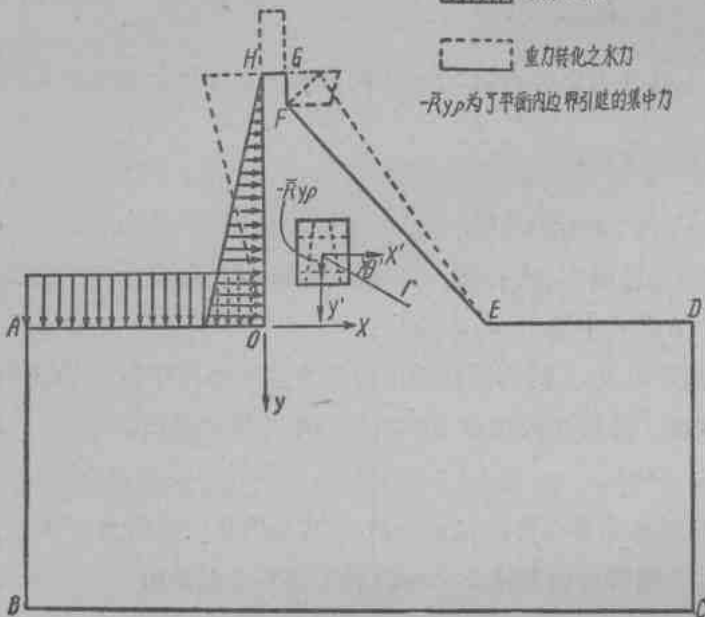


圖 4. 計算空心壩方法示意。

$$\sigma''_x = \frac{\bar{R}_{yp}}{4\pi} \frac{\sin \theta}{r} [-(3+\mu) + 2(1+\mu)\cos^2 \theta], \quad (21)$$

$$\sigma''_y = \frac{\bar{R}_{yp}}{4\pi} \frac{\sin \theta}{r} [1-\mu-2(1+\mu)\cos^2 \theta], \quad (22)$$

$$\tau''_{xy} = \frac{\bar{R}_{yp}}{4\pi} \frac{\cos \theta}{r} [1-\mu+2(1+\mu)\sin^2 \theta] \quad (23)$$

而算出內外邊界上之應力值然後以此作為邊界力。

由於內邊界既然平衡計算  $\sigma'_x, \sigma'_y$  及  $\tau'_{xy}$  時內邊界常數  $A, B, C$  將由

$$\iint y \nabla^4 \varphi dx dy = 0, \quad (24)$$

$$\iint x \nabla^4 \varphi dx dy = 0, \quad (25)$$

$$\iint \nabla^4 \varphi dx dy = 0 \quad (26)$$

三式決定。

在壩體運算中此時可以應用 L. F. 李查遜的邊界處理並用迭弛法<sup>[20]</sup>求解。而迭弛的決定內邊界常數  $A, B$  及  $C$  之條件將為